

## บทความวิจัย

การประชุมวิชาการเครือข่ายวิศวกรรมไฟฟ้า ครั้งที่ 15

15<sup>th</sup> Conference of Electrical Engineering Network 2023 (EENET 2023)

**การออกแบบตัวควบคุมฟลูซ์ชีนิดิกวินพุตเดียวที่เหมาะสมสำหรับระบบควบคุมกระบวนการความดัน  
ด้วยขั้นตอนวิธีการผสมเกสรดอกไม้**

**Optimal SIRM Fuzzy Controller Design for Pressure Process Control System  
via Flower Pollination Algorithm**

ณัฐรอม เกิดส่า่องค์<sup>1</sup> ชีริยุทธ จันทร์เจ้ม<sup>1</sup> สุนธี รุกับพันธุ์<sup>2</sup> และ พิงขาย สมประชา<sup>2</sup>

<sup>1</sup>สาขาวิชาชีวกรรมไฟฟ้า คณะวิศวกรรมศาสตร์ มหาวิทยาลัยเกษตรศาสตร์

1761 ถนนพัฒนาการ แขวงพหลโยธิน กรุงเทพฯ 10250 E-mail: nathum.koe@kbu.ac.th

<sup>2</sup>สาขาวิชาชีวกรรมการวัดคุณ คณะวิศวกรรมศาสตร์ มหาวิทยาลัยเทคโนโลยีราชมงคลครุภัณฑ์

96 หมู่ 3 ตำบลศาลายา อำเภอพุทธมณฑล จังหวัดนครปฐม 73170 E-mail: suthee.ruk@rmutr.ac.th

**บทคัดย่อ**

บทความนี้นำเสนอการออกแบบตัวควบคุมฟลูซ์ชีนิดิกวินพุตเดียวที่เหมาะสมสำหรับระบบควบคุมกระบวนการความดัน ด้วยขั้นตอนวิธีการผสมเกสรดอกไม้ (flower pollination algorithm, FPA) การออกแบบตัวควบคุมนี้จะประยุกต์ให้เป็นปัญหาหารากที่เหมาะสมแบบมีเงื่อนไข วิธี FPA ได้ทำการหาผลเฉลยค่าพารามิเตอร์ที่เหมาะสมที่สุดขององค์ค่าระดับความสำคัญพลวัต เพื่อทำให้ฟังก์ชันวัตถุประสงค์มีค่าน้อยที่สุด ภายใต้ปริญมิการค้นหาและเพื่อให้สามารถระบุค่าที่ดีกว่าตัวควบคุมฟลูซ์ชีนิดิกวินพุตเดียวที่มีส่วนร่วมที่ต้องการ ตัวควบคุมที่นำเสนอในนี้มีสมรรถนะที่ดีกว่าตัวควบคุมฟลูซ์ชีนิดิกวินพุตเดียวที่มีแบบเดิมทั้งในส่วนการเพิดตามค่าเป้าหมายและส่วนการคุณค่าการบานปลาย

**คำสำคัญ:** ตัวควบคุมฟลูซ์ชีนิดิกวินพุตเดียว, ขั้นตอนวิธีการผสมเกสรดอกไม้, ค่าระดับความสำคัญพลวัต

**Abstract**

This article presents the optimal SIRM fuzzy controller design for pressure process control system via flower pollination algorithm (FPA). The design of the proposed controller is based on the constraint optimization problem. The FPA can find the optimal parameters of the dynamic importance degree (DID) in controller for minimizing the objective function under inequality constraints. As simulation results, the SIRM fuzzy controller designed by the FPA gives a better performance than the conventional fuzzy logic controller in both command-tracking and disturbance-regulating.

**Keywords:** SIRM fuzzy controller, flower pollination algorithm, dynamic importance degree

**1. บทนำ**

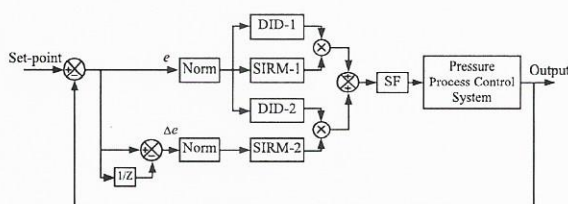
ในงานอุตสาหกรรมสมัยใหม่ที่มีความซับซ้อนสูง จำเป็นต้องมีการพัฒนาระบบควบคุมแบบใหม่ๆ เพื่อควบคุมระบบที่มีความซับซ้อน ความไม่แน่นอนและความไม่เป็นเชิงเส้น การควบคุมฟลูซ์ชีนิดิก (fuzzy logic control) เป็นหนึ่งในวิธีการค้นหาแบบปัญญาประดิษฐ์ (artificial intelligence) ซึ่งมาจากการคิดของ Lotfi A. Zadeh วิธีการนี้จะอาศัยความรู้และประสบการณ์ของมนุษย์เป็นพื้นฐานในการควบคุม ไม่จำเป็นต้องอาศัยแบบจำลองทางคณิตศาสตร์ที่แม่นยำของระบบในการออกแบบตัวควบคุม ทำให้ประยุกต์กับระบบที่มีความซับซ้อนได้อย่างมีประสิทธิภาพ [1] อย่างไรก็ตาม จำนวนกฎฟลูซ์ชีนิดิกที่เพิ่มขึ้นแบบเอ็กโพเนนเชียลตามจำนวนอินพุตของฟลูซ์ชีนี้ทำให้ยากต่อการกำหนดค่ากฎฟลูซ์ชีนิดิก

ตัวควบคุมฟลูซ์ชีนิดิกวินพุตเดียว (single input rule model, SIRM) จะใช้เพียงหนึ่งอินพุตในการสร้างกฎฟลูซ์ชีนี้ ทำให้สามารถลดจำนวนกฎควบคุมฟลูซ์ชีนิดิกและช่วยในการกำหนดค่ากฎฟลูซ์ชีนี้ได้ง่ายขึ้น [2] อย่างไรก็ตาม ตัวควบคุมฟลูซ์ชีนิดิกวินพุตเดียวที่ต้องอาศัย ค่าระดับความสำคัญพลวัต (dynamic importance degree, DID) ใช้ไปง่ายกว่าตัวควบคุมฟลูซ์ชีนิดิกวินพุตเดียวที่เหมาะสม จึงเป็นทัวร์อ่อนน้อม

บทความนี้นำเสนอการออกแบบตัวควบคุมฟลูซ์ชีนิดิกวินพุตเดียวที่เหมาะสมสำหรับระบบควบคุมกระบวนการความดัน ด้วยขั้นตอนวิธีการผสมเกสรดอกไม้ ซึ่งเป็นหนึ่งในวิธีคิดที่สามารถแก้ปัญหาได้ดีที่สุด เช่น ปัญหาการค้นหารากที่ดีที่สุดของฟลูซ์ชีนิดิก (constraint optimization problem) โดยฟังก์ชันวัตถุประสงค์เป็นผลรวมค่าความผิดพลาดสมบูรณ์ระหว่างค่าเป้าหมายและสัญญาณเอาท์พุตของระบบ FPA ทำการหาผลเฉลยค่าพารามิเตอร์ที่เหมาะสมในค่าระดับความสำคัญพลวัต เพื่อทำให้ฟังก์ชันวัตถุประสงค์มีค่าน้อยที่สุดภายใต้ปริญมิการค้นหาและทำการเรียนรู้ยังตัวควบคุมฟลูซ์ชีนิดิกแบบเดิม

## 2. วงศอบความคุณแบบฟืชซีชนิดกวางอินพูตเดียว

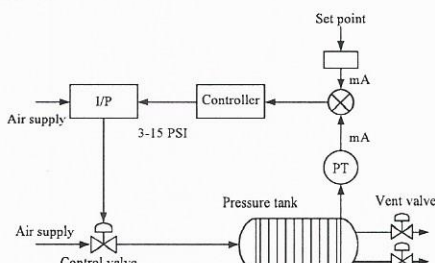
ระบบควบคุมแบบป้อนกลับของระบบควบคุมกระบวนการความตันด้วยตัวควบคุมแบบฟ้ำซุ่มที่ชนิดกอกกูอนพุดเดียวนะเดงตั้งรูปที่ 1



รูปที่ 1 วงศ์ครอบคลุมแบบพืชชีชนิดกลุ่มพุตเดียว

## 2.1 ระบบความคุ้มครองบุนการความดัน

ระบบควบคุมกระบวนการความดันแสดงตั้งรูปที่ 2 โครงสร้างของระบบประจุกอนด้าว หน่วยจ่ายลม เพรสเซอร์ทรายสมิตเตอร์ ตัวเปลี่ยนกระแสไฟฟ้าเป็นแรงดัน วาล์วควบคุม ตัวควบคุม และอุปกรณ์อื่นๆ ความดันในถังจะถูกวัดด้วยเพรสเซอร์ทรายสมิตเตอร์และส่งให้ตัวควบคุม ตัวควบคุมจะประมวลผลและส่งสัญญาณความคุณไปที่ตัวเปลี่ยนกระแสไฟฟ้าเป็นแรงดันเพื่อควบคุมตัวหน่วงวาล์วควบคุม ให้ได้ถ้าความดันในถังที่ต้องการตามค่าเป้าหมายที่ตั้งไว้



รูปที่ 2 แบบไดอะแกรมแผนผังของระบบความคุ้มครองน้ำดื่ม

แบบจำลองทางคณิตศาสตร์ของระบบควบคุมกระบวนการการคำนวณได้ถูกแสดงพิสูจน์ถ้วนแล้วโดยระบบอันดับหนึ่งแบบประวิงเวลา (first-order plus delay time) ดังแสดงในสมการที่ (1) [4] โดยที่  $K$  คือ อัตราขยายระบบ  $n$  คือ ค่าคงตัวเวลา และ  $\tau$  คือ ค่าประวิงเวลา

$$G_p(s) = \frac{Ke^{-\tau_d s}}{\tau s + 1} \quad (1)$$

## 2.2 ตัวความคุมพืชชีชนิดกวางอินพตเดี่ยว

พืชซึ่งนิดกกฎอินพุตเดียว จะนำเพียงอินพุต 1 ดาวเปรียบจัดดาวไว้ในส่วนเงื่อนไข (antecedent) ของกฎพืชซึ่งวิธีการนี้จำแนกกฎพืชซึ่งล็อกลงชั้ง การกำหนดกฎพืชซึ่งนิดกกฎอินพุตเดียวสามารถแสดงได้ดังสมการที่ (2) โดยที่  $SIRM-i$  คือ  $SIRM$  ของอินพุตที่  $i$ ,  $R'_j$  คือกฎที่  $j$  ใน  $SIRM-i$ ,  $x_j$  คืออินพุตที่  $i$  ในส่วนเงื่อนไขของกฎ,  $y_i$  คือเอาต์พุตที่  $i$  ในส่วนผลลัพธ์ของกฎ,  $A'_j$  คือพังค์ชันความเป็นสมาชิกของ  $x_j$  ในส่วนเงื่อนไขของกฎที่  $j$

ของ SIRM- $i$ ,  $C_j^i$  คือฟังก์ชันความเป็นสามารถของ  $y_i$  ในส่วนผลลัพธ์ของกฎที่  $j$  ของ SIRM- $i$ ,  $i=1,2,\dots$  คืออินพุตของ SIRM และ  $j=1,2,\dots,m$  คือจำนวนกฎในแต่ละ SIRM- $i$ . [2]

$$SIRM - i : \{R_j^i : \text{if } x_i = A_j^i \text{ then } y_i = C_j^i\}_{j=1}^{m_i} \quad (2)$$

ในการอนุมานฟื้ซชั่นนิกกูริอนพุดเดิร์กของแต่ละอินพุด ผลการอนุมานสามารถคำนวณได้ดังสมการที่ (3) และ (4) โดยที่  $h_j$  คือค่าระดับความเป็นสมาชิกของอินพุด  $x_i$  ในฟื้ซชั่นชุด  $A_j$

$$h_j^i = A_j^i(x_i) \quad (3)$$

$$y_i^0 = \frac{\sum_{k=1}^{m_i} h_k^j \cdot c_k^j}{\sum_{k=1}^{m_i} p_k^j} \quad (4)$$

การคำนวณสำหรับค่าคงที่  $B$  ให้คำนวณโดยใช้สมการที่ (5) โดยที่  $w_i$  คือค่าฐาน (base value) และ  $B_i$  คือค่าขยาย (breadth value) [2]

$$w_j^D = w_j + B_j \cdot x_j \quad (5)$$

ดังนั้นสัญญาณความคุณจากตัวความคุณฟืชซี่ชนิดก้อนอินพุตเดียว  
เกิดจากการรวมกันของผลคูณระหว่างการอนุมานฟืชซี่และค่าระดับ  
ความสำคัญพิเศษของอินพุตแต่ละตัว ดังแสดงในสมการที่ (6) [2]

$$y = \sum_{i=1}^n w_i^D \cdot y_i^0 \quad (6)$$

### 3. ทั้งหมดวิธีการทดสอบเอกสารไม่

ขั้นตอนวิธีการผสานเกณฑ์ต่อไปนี้เป็นวิธีการหาค่าที่เหมาะสมที่สุดวิธีหนึ่งที่ได้แรงบันดาลใจจากการผสานเกณฑ์ต่อไปนี้ คือ Xim-She Yang [3] ขั้นตอนการหาผลเฉลยที่วิธีขั้นตอนวิธีการผสานเกณฑ์ต่อไปนี้ แสดงดังรูปที่ 3 เริ่มต้นด้วยการกำหนดฟังก์ชันวัดคุณสมบัติ ( $f$ ), กำหนดจำนวนเงิน ( $n$ ) และกำหนดค่าความน่าจะเป็นในการสับเปลี่ยน ( $switch probability$ )  $p \in [0, 1]$  เพื่อใช้สำหรับการเลือกรูปแบบการผสานเกณฑ์ ถ้าค่าที่สุ่มได้ออกกว่า  $p$  เป็นจริง การค้นหาผลเฉลยใหม่ในกรณีนี้ ใช้วิธีการผสานเกณฑ์แบบวงกว้างตามสมการที่ (7) โดยที่  $x_i^j$  คือผลเฉลยที่เวลา  $t$ ,  $L$  คือค่าสูงที่มีการแจกแจงแบบเดรี (Lévy distribution) และ  $g^*$  คือผลเฉลยที่ได้ที่สุดที่อยู่พุ่ม [3]

$$x_i^{t+1} = x_i^t + L(g^* - x_i^t) \quad (7)$$

แต่ค่าที่สูงได้น้อยกว่า  $\rho$  เป็นเท็จ การศั้นหาผลเฉลยใหม่ใช้การสมมติฐานเชิงพารามิเตอร์ตามสมการที่ (8) โดยที่  $x_i$  และ  $x_i'$  คือ 2 ค่าผล

ผลลัพธ์ที่ได้รับการสุ่มจากกลุ่มประชากรเดียวกัน  $x_i$  และ  $\varepsilon$  คือค่าสุ่มที่มีการแจกแจงแบบเอกอัจฉริยะ (uniform distribution)[3]

$$x_i^{t+1} = x_i^t + \varepsilon(x_j^t - x_k^t) \quad (8)$$

จากนี้ประเมินผลเฉลยใหม่และผลเฉลยผลเฉลยที่ดีที่สุด  $g^*$  ด้วยฟังก์ชันวัดอุปرسلงค์  $f(x)$  ผลเฉลยผลเฉลยที่ดีที่สุด  $g^*$  จะถูกปรับปรุงท่าให้มีด้วยผลเฉลยที่ดีกว่า กระบวนการค้นหาจะดำเนินไปจนกว่าเกณฑ์สิ้นสุดการค้นหาเป็นจริง [3]

```

begin
  Objective min or max f(x) of solution x = (x1, ..., xn)
  Initial a population of n flower/pollen gametes with random solutions
  Find the best solution g* in initial population
  Define a switch probability p ∈ [0,1]
  while (Gen < Max_Gen) or (stop criterion)
    for i = 1:n (all n flowers in the population)
      if rand < p,
        Draw a (d-dimensional) step vector L which obey a Lévy distribution
        Global pollination via (7)
      else
        Draw ε from a uniform distribution in [0,1]
        Randomly choose j and k among all the solutions
        Local pollination via (8)
      end if
      Evaluate new solutions
      If new solutions are better, update them in the population
    end for
    Find the current best solution g*
  end while
end

```

รูปที่ 3 ขั้นตอนการหาผลเฉลยด้วยวิธีการสมมติการทดสอบก้าวไน [3]

#### 4. การออกแบบตัวควบคุม SIRM และผลการจำลอง

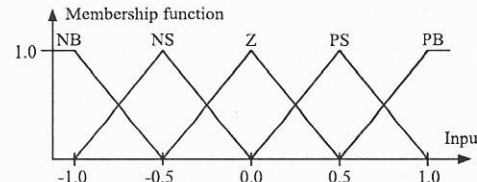
การออกแบบตัวควบคุมฟืชซึ่งนิคกูอินพุตเดียวสำหรับระบบควบคุมกระบวนการค้น โดยบทความนี้จะใช้ 2 ตัวแปรเป็นอินพุตให้ SIRM คือ ค่าความผิดพลาดระหว่างค่าเป้าหมายและค่าความค้นหาต่อพุต ( $x_1$ ) และค่าความเปลี่ยนแปลงของค่าความผิดพลาด ( $x_2$ )

##### 4.1 การกำหนดกฎฟืชซึ่งนิคกูอินพุตเดียว

การกำหนดฟังก์ชันความเป็นสมาชิกของตัวแปรอินพุตแต่ละตัวใน SIRM แสดงดังรูปที่ 4 ประกอบด้วย 5 พืชซึ่งเซต NB(Negative Big) NS(Negative Small) Z(Zero) PS(Positive Small) และ PB(Positive Big) ดังนั้นฟังก์ชันความเป็นสมาชิกของตัวแปรอินพุตเดียวที่มีค่าเป้าหมายจึงเดียว (Singleton) การกำหนดกฎฟืชซึ่งสามารถแสดงดังตารางที่ 1 ซึ่งมีกฎฟืชซึ่งทั้งหมด 10 กฎ

ตารางที่ 1 กฎฟืชซึ่งใน SIRM

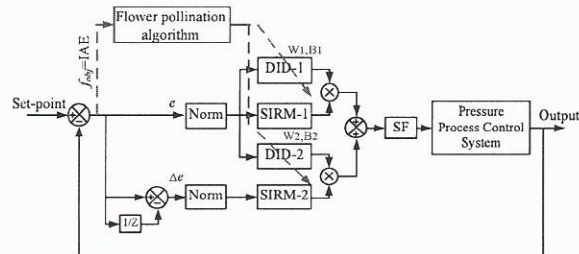
ตัวแปรอินพุต $x_i$ ( $i=1,2$ )	ตัวแปรอินพุต $y_i$ ( $i=1,2$ )
NB	-1.0
NS	-0.5
Z	0.0
PS	0.5
PB	1.0



รูปที่ 4 ฟังก์ชันความเป็นสมาชิกของตัวแปรอินพุตแต่ละตัวใน SIRM

#### 4.2 การออกแบบตัวควบคุมสำหรับกระบวนการค้นหาน้ำหนักที่เหมาะสมด้วยขั้นตอนวิธีการสมมติการทดสอบก้าวไน

การออกแบบตัวควบคุมฟืชซึ่งนิคกูอินพุตเดียวที่เหมาะสมด้วย FPA และดังรูปที่ 5 โดยปัญหาการออกแบบตัวควบคุมฟืชซึ่งนิคกูอินพุตเดียวให้เป็นปัญหาการหาค่าที่เหมาะสมที่สุดแบบมีเงื่อนไข ดังแสดงในสมการที่ (9)



รูปที่ 5 การออกแบบฟืชซึ่งนิคกูอินพุตเดียวที่เหมาะสมด้วยขั้นตอน

##### วิธีการสมมติการทดสอบก้าวไน

$$\begin{aligned}
 \text{Minimize} \quad f_{obj}(W_1, B_1, W_2, B_2) &= \sum_{i=1}^N |R_i - C_i| \\
 \text{subject to} \quad t_r &\leq 2.0s, \quad M_p \leq 10\%, \\
 t_s &\leq 4.0s, \quad e_{ss} < 1\%, \\
 0.01 < W_1 &\leq 5.0, \quad 0.01 < B_1 \leq 5.0, \\
 0.01 < W_2 &\leq 2.0, \quad 0.01 < B_2 \leq 2.0
 \end{aligned} \quad (9)$$

จากสมการฟังก์ชันวัดอุปرسلงค์  $f_{dg}$  กำหนดให้เป็นผลรวมค่าความผิดพลาดสมบูรณ์ (IAE) ระหว่างค่าเป้าหมาย ( $R$ ) กับค่าความต้านทาน ( $C$ ) ภายใต้เงื่อนไขของสมการประกอบด้วย เวลาขึ้น (rise time:  $t_r$ ), การผุ่งเกินสูงสุด (maximum overshoot:  $M_p$ ), เวลาเข้าที่ (settling time:  $t_s$ ) และ ความผิดพลาดในสภาวะอยู่ตัว (steady-state error:  $e_{ss}$ ) FPA จะค้นหาค่าพารามิเตอร์  $W_1$  และ  $B_1$  ใน DID-1 และค่าพารามิเตอร์  $W_2$  และ  $B_2$  ใน DID-2 ภายใต้ขอบเขตที่กำหนดให้เป็นปริภูมิการค้นหาเพื่อทำให้ฟังก์ชันวัดอุปرسلงค์  $f_{dg}$  มีค่าใกล้เคียงกับค่าเป้าหมายให้เงื่อนไขการออกแบบ

#### 4.3 ผลการจำลอง

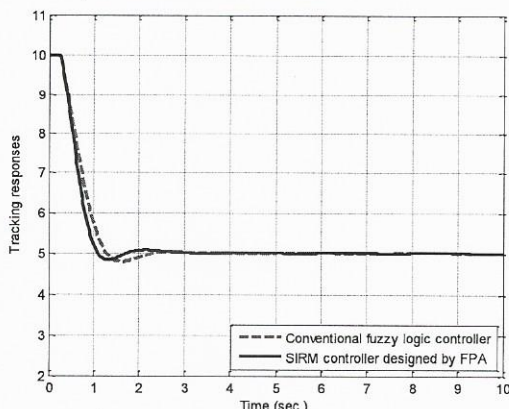
การออกแบบตัวควบคุมฟืชซึ่งนิคกูอินพุตเดียวที่เหมาะสมด้วยขั้นตอนวิธีของ FPA สำหรับระบบควบคุมกระบวนการค้น ได้รับการพัฒนาให้เป็นโปรแกรมการค้นหาด้วย MATLAB ในส่วนของค่าพารามิเตอร์ของ FPA นั้นกำหนดตามคำแนะนำของ Xin-She Yang [3] จำนวนเกสรทดสอบก้าวไน  $n = 25$ , ค่าความน่าจะเป็นในการสัมประสิทธิ์ระหว่าง

การทดสอบแบบวงกว้างและการทดสอบแบบเฉพาะที่  $p = 0.8$  จำนวนรอบการค้นหาสูงสุด  $\text{Max\_Gen} = 1000$  สำหรับการค้นหาผลเฉลย และข้อได้เท่ากันเบรเวียนเที่ยงสมรรถนะตัวควบคุมฟลัชซีชนิดกัญอินพุตเดียวที่ออกแบบกับตัวควบคุมฟลัชซีแบบดึงเดินซึ่งมีกัญฟลัชซี 25 กญ

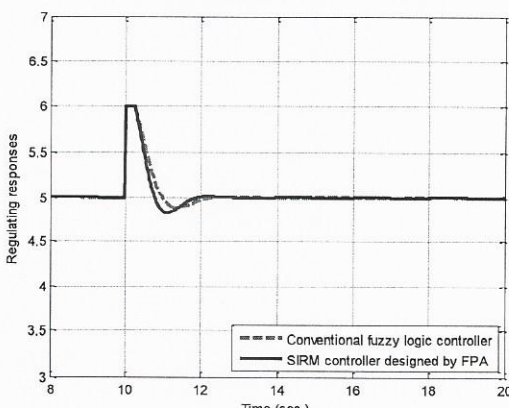
โดยพิจารณาตัวควบคุมคือ ชุดฟิกปฎิบัติการระบบควบคุมกระบวนการความดันของ บริษัท Feedback Instrument จำกัด ระบบดังกล่าวได้รับการระบุอักษรแบบเข้าลงทางคณิตศาสตร์ ดังแสดงในสมการที่ (10)

$$G_p(s) = \frac{-3.601e^{-0.25s}}{0.54s + 1} \quad (10)$$

การหาผลเฉลยด้วย FPA ในปัญหาการออกแบบตัวควบคุมฟลัชซีชนิดกัญอินพุตเดียวที่เหมาะสมสำหรับระบบควบคุมกระบวนการความดัน สามารถถูกเข้าหาผลเฉลยที่  $W_1 = 0.6586$ ,  $B_1 = 0.2355$ ,  $W_2 = 0.5992$  และ  $B_2 = 0.2869$  ตามลำดับ



รูปที่ 6 ผลตอบสนองการเพ้าติดตามค่าเป้าหมาย



รูปที่ 7 ผลตอบสนองการคุมค่าการรับกวน

ผลตอบสนองการเพ้าติดตามค่าเป้าหมายของระบบกระบวนการความดันที่ค่าเป้าหมาย 5 Psi ซึ่งถูกควบคุมด้วยตัวควบคุมฟลัชซีแบบดึงเดิน และตัวควบคุมฟลัชซีชนิดกัญอินพุตเดียวที่ออกแบบด้วย FPA พบว่าผลตอบสนองในการประมวลคำสั่งจะมีเวลาเข้าที่ของการคุมค่าการรับกวน มีค่า 1.9 s และ 1.7 s ตามลำดับ แสดงให้เห็นได้ว่าตัวควบคุมฟลัชซีชนิดกัญอินพุตเดียวที่ออกแบบด้วย FPA สามารถให้เวลาเข้าที่ของการคุมค่าการรับกวนเร็วกว่าตัวควบคุมฟลัชซีแบบดึงเดิน

FPA แสดงดังรูปที่ 6 ในกรณีระบบมีตัวควบคุมฟลัชซีแบบดึงเดิน พบว่าผลตอบสนองวิ่งเข้าสู่ค่าเป้าหมาย มีค่า  $t_r = 1.0$  s,  $M_p = 3.60\%$ ,  $t_s = 2.3$  s และ  $e_{ss} = 0.00\%$  และเมื่อพิจารณาในกรณีระบบมีตัวควบคุมฟลัชซีชนิดกัญอินพุตเดียวที่ออกแบบด้วย FPA พบว่าผลตอบสนองในการประมวลคำสั่งจะมีค่า  $t_r = 0.92$  s,  $M_p = 2.00\%$ ,  $t_s = 2.0$  s และ  $e_{ss} = 0.00\%$  ซึ่งพบว่าผลตอบสนองการเพ้าติดตามค่าเป้าหมายของระบบภายใต้ด้วยตัวควบคุมฟลัชซีชนิดกัญอินพุตเดียวที่ออกแบบด้วย FPA ที่ได้จากการออกแบบสอดคล้องปัญหาที่เหมาะสม ในสมการที่ (9) ยังกว่านั้นพบว่าตัวควบคุมที่ออกแบบ สามารถให้ค่า  $t_r$ ,  $M_p$  และ  $t_s$  ที่น้อยกว่าตัวควบคุมฟลัชซีแบบดึงเดิน

รูปที่ 7 แสดงผลตอบสนองการคุมค่าการรับกวนของระบบกระบวนการความดันรากที่ 1 Psi ซึ่งถูกควบคุมด้วยตัวควบคุมฟลัชซีแบบดึงเดิน และตัวควบคุมฟลัชซีชนิดกัญอินพุตเดียวที่ออกแบบด้วย FPA พบว่าผลตอบสนองในการประมวลคำสั่งจะมีเวลาเข้าที่ของการคุมค่าการรับกวน มีค่า 1.9 s และ 1.7 s ตามลำดับ แสดงให้เห็นได้ว่าตัวควบคุมฟลัชซีชนิดกัญอินพุตเดียวที่ออกแบบด้วย FPA สามารถให้เวลาเข้าที่ของการคุมค่าการรับกวนเร็วกว่าตัวควบคุมฟลัชซีแบบดึงเดิน

## 5. สรุป

บทความนี้นำเสนอการออกแบบตัวควบคุมฟลัชซีชนิดกัญอินพุตเดียวที่เหมาะสมสำหรับระบบควบคุมกระบวนการความดันด้วย FPA ซึ่งการออกแบบตัวควบคุมจะถูกกำหนดน้ำหนักการหาค่าที่เหมาะสมแบบมีเงื่อนไข แล้ว FPA จะให้ประสิทธิภาพในการค้นหาผลเฉลยของค่าพารามิเตอร์ที่เหมาะสมของค่าระดับความสำคัญพลวัต จากการจำลองผลตอบสนองการเพ้าติดตามค่าเป้าหมายและการคุมค่าการรับกวนของระบบกระบวนการความดัน พบว่าตัวควบคุมฟลัชซีชนิดกัญอินพุตเดียวที่เหมาะสมที่มีกัญฟลัชซี 10 กญ สามารถให้สมรรถนะที่ดีกว่าตัวควบคุมฟลัชซีแบบดึงเดินที่มีกัญฟลัชซี 25 กญ

## เอกสารอ้างอิง

- [1] สุดาวดี ขวัญอ่อน, รัตนชัย ภูริวนิชพงษ์ และสราฐี ฤทธิ์ สร้างเสถียรภาพให้ระบบลูกผสมผันด้วยตัวควบคุมนิโว-ฟลัชซีชนิดกัญอินพุตเดียว, วารสารสหគิจวิทยา, 27(1), 101-121, 2548.
- [2] J. Yi, and N. Yubasaki, "Stabilization fuzzy control of inverted pendulum systems," *Artificial Intelligent in Engineering*, pp.153-163, 2000.
- [3] X. S. Yang, *Nature-Inspired Optimization Algorithms*, Elsevier Inc, 2014.
- [4] N. Kanagaraj, M. Al-Dhaifalla and K. S. Nisar, "Design of intelligent fuzzy fractional-order PID controller for pressure control application," in Proc. 2017 International Conference on Intelligent Computing, Instrumentation and Control Technologies, pp. 525-530, 2017.